

## 波状底面上の anti-dune type の流れに伴成される粗粒成堆

九州大学工学部 正員の松永 信博

九州大学工学部 学生員 並川 正

九州大学工学部 正員 小林 利光

### 1. まえがき

砂連上の流れと乱れの構造を明らかにすることには、底質の浮遊機構の解明や浮遊砂量の推定に重要である。そこで、我々は波状底面とともに開水路流の流れ特性と種々のフルード数に対して系統的に調べてきた。<sup>1), 2)</sup> 波状底面をもつて開水路流は、自由水面の形によって dune type, anti-dune type, chutes & pools type にわけられる。今回は、特に anti-dune type の流れに限り、流れと乱れの特性について報告する。

### 2. 実験方法および実験条件

今回用いた水路は、全長12m、幅15cm、深さ30cmで、水路底勾配を20/1000まで自由に変えうことのできる開水路である。上流側6mには、助走区間として平坦固定床を設置した。一方、下流側には波長22cm、波高1.0cmの正弦波を24波設置した。固定床はすべて石こう製である。波状底面の峰の位置で基準圧との差圧を測定し、全体的自由水面勾配を求めた。それが水路底勾配とはほぼ等しくなる区間（波状部上流端より1.5波長下流）を測定区間に選び、固定床の1波長にわたりて流速測定を行った。測定には、各方向X型ホット・フィルム流速計を用い、図-1に示すように1~9の位置

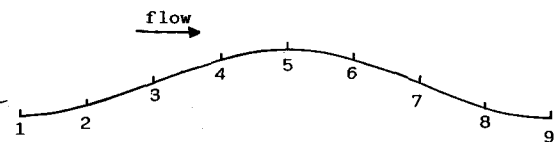


図-1 流速測定位置

で水平方向と鉛直方向の流速を測定した。実験条件は、水路底勾配2/1000、単位幅当たりの流量219cm<sup>3</sup>/s、平均水深3.19cm、Fröhlede数は1.00であった。流速計からの出力は、データレコーダに収録され、サンプリングタイム8/500秒、サンプリング個数8192個でA.D変換された。

### 3. 実験結果および考察

図-2に平均流速の鉛直分布と水面形を示す。流れが射流であるため水面形は底面とほぼ同位相である。平均流速は底面のごく近傍で急激な勾配をもち、その近傍を除いて水深全体にわたってほぼ一様な速度勾配とともに流れが形成される。谷部では遠心力が底面方向に作用するため、流体粒子は底面に押しつけらる底面摩擦が増大する。このため自由水面と底面付近との速度差が大きくなり、谷部では速度勾配が増大する。一方、峰付近では、それとは逆に遠心力が鉛直上向きに作用するため、流体粒子に作用するせん断応力が減少し一様流速分布に近いものとなる。底面に作用する圧力から静水圧を取り除き、遠心力によって生ずる谷と峰における圧力の差を1/m<sup>2</sup>で無次元化したところ、

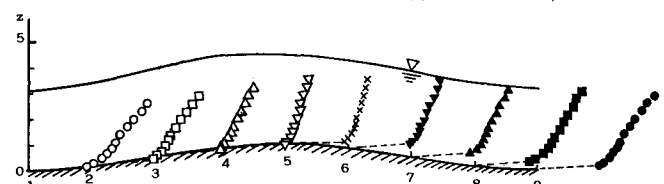


図-2 平均流速分布

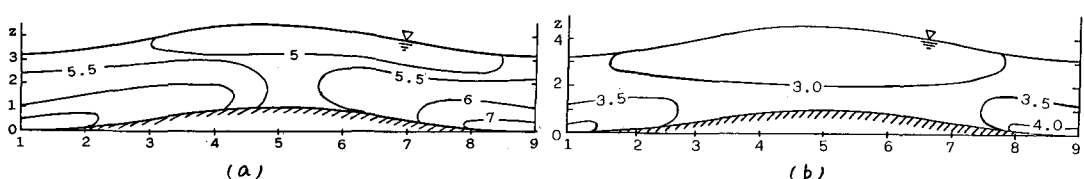


図-3 乱れ強度の空間分布(単位 cm/s<sup>2</sup>): a) 水平方向の乱れ強度 b) 鉛直方向の乱れ強度

$1.11 \times 10^{-2}$  という他の 2 つのタイプの流れに比べてかなり大きさは値をとった。これは、水面形が底面と同位相で水深がほぼ一様であるために、流れがほとんど加速・減速の効果を受けず、峰付近における遠心力の効果が抑えられるためであると考えられる。

図-3(a), (b) に主流方向の乱れ強度と鉛直方向の乱れ強度の空間分布を示す。乱れ強度は底面近傍の谷部で大きく、峰では比較的小さな値となる。乱れは空間的には対称分布を示すが、dune type の流れのようく底面に平行に走る等高線が見られないことより、底面と水表面の影響を受けた乱れの層 (constant core) は形成されないことがわかる。図-3(a), (b) の空間分布はほぼ相似で、水平方向の乱れ強度が鉛直方向のそれの約 2 倍の値をとることから、局所的に遠心力の作用を受ける流れにおいても、壁面せん断流流独自の特徴が認められる。図-4 に乱れの積分長さスケールの鉛直分布を示す。

ここで、 $\lambda$  は局所的水深であり、 $\ell/h$  は主流方向の乱れの自己相關に基づいて算定されている。積分スケールには、かがりのばらつきが見られるが、壁面近傍では  $\ell/\lambda = 0.7$  の値をとる。流れ場全体においては、積分スケール程度の渦は平均流速勾配に応じて局所的伸縮をくり返しながら流下するものと考えられる。

図-5 に Reynolds 応力の鉛直分布を示す。一般に平板壁面乱流においては、Reynolds 応力の鉛直分布は壁面近傍で最大値をとり、その後単調に減少するが、曲面上に沿って流れる anti-dune type の流れにおいて Reynolds 応力分布は、壁面近傍で最大値をとった後減少し、極小値をとることが山から谷にかけて明瞭に認められる。その極小値を連ねた線を点線で示している。Reynolds 応力が極小値をとる位置は峰付近から発生し、一波長間に水深程度にまで達する。図-6 に Reynolds 応力が極小となる位置における代表的乱れのスペクトルと  $\overline{u'v'}$  のコ-スペクトルを示す。これによると 0.25 Hz 附近にエネルギーの卓越が見られる。このエネルギーの卓越は、図-5 の点線に沿って特に明瞭に現われる。また、その卓越周波数における Reynolds 応力への寄与も大きい。これらのことから、主流によって峰背後に形成された組織渦は、0.25 Hz で放出され凹面に沿って流下しながら発達することがわかる。そして、この組織渦の存在のために、放出周波数における Reynolds 応力への寄与は大きいが、主流が流下しやすくなり、その結果組織渦が流下する道における乱れ全體によって生ずる Reynolds 応力はトクする。

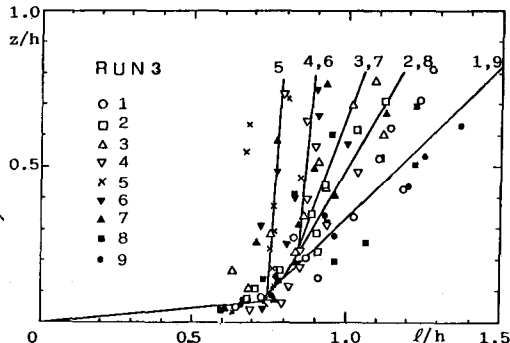


図-4 積分長さスケールの鉛直分布

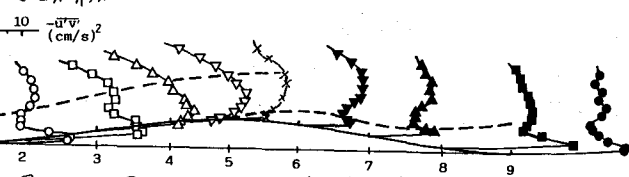


図-5 Reynolds 応力の鉛直分布

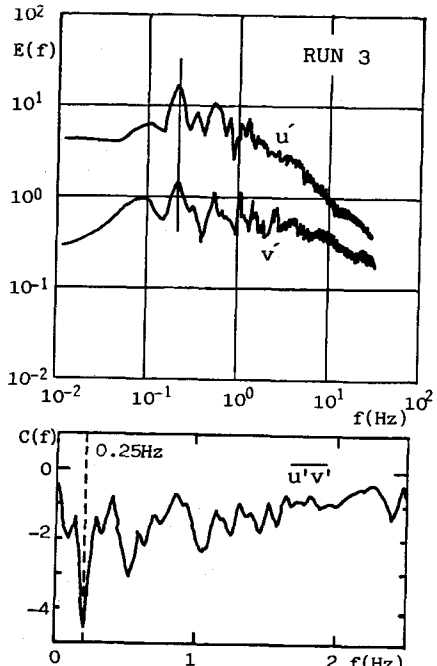


図-6 Reynolds 応力が極小となる位置におけるエネルギースペクトルと  $\overline{u'v'}$  のコ-スペクトル

参考文献> 1) 松永信博等: 第4回国水講 pp. 587-596, 2) 松永信博等: 第3回国水理講演会, pp. 589-594